

($L > l_0^2 \left| \frac{\partial v_{\Gamma P}}{\partial \omega} \right|$) пуг расплывается, его характерный размер растёт пропорционально пройденному пути: $l \sim L \frac{\partial v_{\Gamma P}}{\partial \omega} / l_0$ (рис. 2). В непоглощающих (и слабопоглощающих) средах $v_{\Gamma P}$ совпадает со скоростью пере-

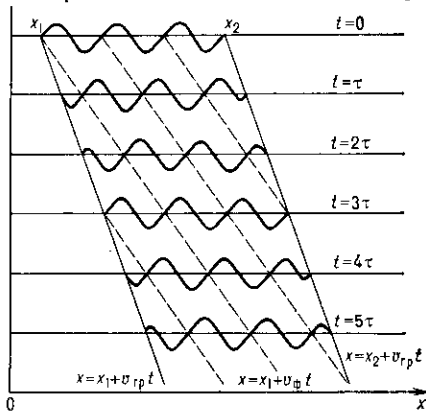


Рис. 1. Пуг на глубокой воде ($v_{\Phi} = 2v_{\Gamma P}$). Наблюдатель в каждый момент времени видит три гребня; однако, измеряя их число неподвижным датчиком, он зарегистрирует шесть всплесков.

носа энергии, а следовательно, и со скоростью передачи информации, закодированной с помощью амплитудной или фазовой модуляции.

В случае произвольных волновых возмущений, не близких к гармоническим, Д. в. может приводить к

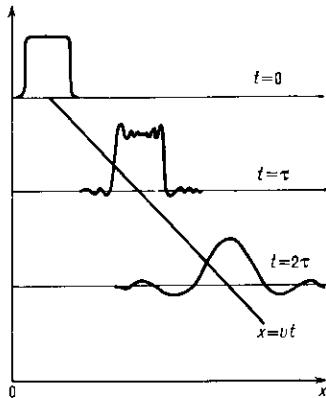


Рис. 2. Пример расплывания волнового пакета. Сначала огибающая импульса искажается в окрестностях наиболее крутых участков (фронтов). При больших временах импульс, продвигаясь вперед с групповой скоростью, расширяется, а форма его огибающей приближенно повторяет форму пространственного спектра исходного сигнала.

сложным явлениям. Напр. при разбегании поверхностных волн на глубокой воде от одиночного одномерного всплеска (рис. 3) число волновых гребней постоянно

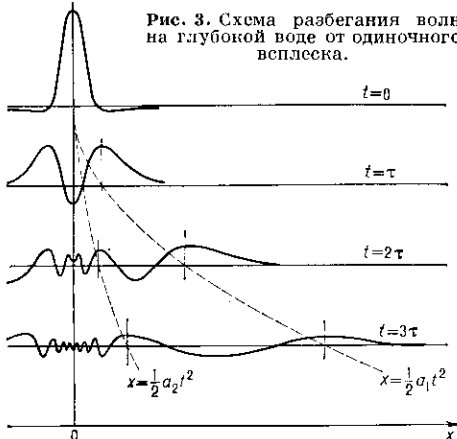


Рис. 3. Схема разбегания волн на глубокой воде от одиночного всплеска.

увеличивается; новые гребни зарождаются парами, один из них равноускоренно удаляется от места всплеска, постепенно расцеливаясь, другой, становясь круче, асимптотически приближается к оси симметрии всплес-

ка. Ускорение первого гребня гравитац. волны $a_1 = 0,325g$, второго $a_2 = 0,069g$, где g — ускорение свободного падения.

При неоднозначной зависимости $\omega = \omega(k)$ выделяют отд. ветви нормальных волн — моды. В однородных средах они различаются либо поляризацией (напр.,

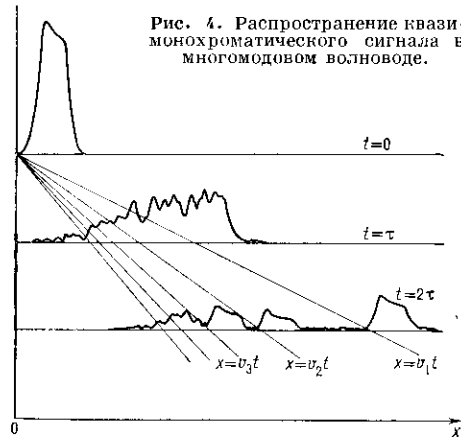


Рис. 4. Распространение квази-монохроматического сигнала в многомодовом волноводе.

обыкновенные и необыкновенные волны в анизотропных кристаллах или в замагниченной плазме), либо природой формирующей волну взаимодействий (напр., ленгмюровские и ионно-звуковые волны в плазме). В волноводных системах, кроме того, моды различаются поперечной структурой полей. Каждой моде могут быть сопоставлены фазовые и групповые скорости. Одиночный импульсный сигнал, запущенный в многомодовую систему, распадается на серию отд. сигналов, распространяющихся с разл. групповыми скоростями (рис. 4).

Д. в. объясняется инерционностью и нелокальностью формирующей волну взаимодействий. Практически во всех реальных системах отклик на кратковременное сосредоточенное воздействие растянут во времени и размыт в пространстве. Соответствующие характерные времена инерционности τ_g и масштабы нелокальности ρ_g определяются либо микропроцессами в диспергирующей среде, либо переотражениями на макроскопич. неоднородностях и границах волноводной системы. В ряде случаев эффекты инерционности и нелокальности проявляются независимо; при этом различают временную и пространственную дисперсию соответственно. Однако в нек-рых системах инерционность и нелокальность неразрывно взаимосвязаны, и тогда характер Д. в. определяется др. физ. величинами, имеющими, следовательно, более сложную размерность. Напр., для гравитационных поверхностных волн на глубокой воде параметром дисперсии является ускорение свободного падения g ($\omega^2 = gk$), для капиллярных волн — отношение коэф. поверхностного натяжения σ к плотности жидкости ρ ($\omega^2 = k^3 \sigma / \rho$), для волн де Бройля — отношение постоянной Планка \hbar к массе частицы m ($\omega = k^2 \hbar / 2m$).

Существует обширный класс явлений, описание к-рых не сводится к изучению свойств отд. гармонич. волн, ибо последние просто могут не являться собств. движениями в соответствующих системах. В этих случаях понятие Д. в. не допускает универсального определения, хотя всякий раз оно в той или иной степени оказывается связанным с инерционностью и нелокальностью взаимодействий.

В линейных системах с потерями волновые возмущения также могут быть представлены как совокупности экспоненциальных нормальных волн $A \exp(i\omega t - ikr)$, но уже с комплексными значениями частот ω и волновых векторов k , мнимые части к-рых определяют временные γ и пространственные Γ декременты затухания ($\gamma = \text{Im } \omega$, $\Gamma = -\text{Im } k$). Д. в. приводит к селективности